

$L^*/Y_{destinati}$ (absoluta)	18.0/18.0	37.3/37.3	56.7/56.7	76.1/76.0	95.4/95.4	$N_0$ (min.)	$W_I$ (max.)
$w^*-l^*_CIELAB, r$ (relativo)							
$w^*_\text{immettere}$	0,000	0,250	0,500	0,750	1,000	$N_0$ (min.)	$W_I$ (max.)
$w^*_\text{uscita}$							

TI730-5, Fig. C2Wdd: Elemento B: 5 equidistante  $L^*$  grigio passi +  $N_0$  +  $W_I$ ; PS operator: *rgb/cmy0*

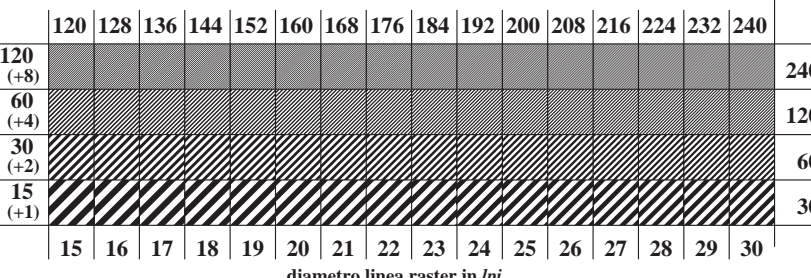
$L^*/Y_{destinati}$ (absoluta)	18.0/18.0	23.2/23.2	28.3/28.3	33.5/33.5	38.6/38.6	43.8/43.8	49.0/49.0	54.1/54.1	59.3/59.3	64.4/64.4	69.6/69.6	74.8/74.8	79.9/79.9	85.1/85.1	90.2/90.2	95.4/95.4
$N_e$ codice Hex	00;F	01;E	02;D	03;C	04;B	05;A	06;9	07;8	08;7	09;6	10;5	11;4	12;3	13;2	14;1	15;0
$w^*-l^*_CIELAB, r$ (relativo)																
$w^*_\text{immettere}$	0,000	0,067	0,133	0,200	0,267	0,333	0,400	0,467	0,533	0,600	0,667	0,733	0,800	0,867	0,933	1,000
$w^*_\text{uscita}$																

TI730-7, Fig. C3Wdd: Elemento C: 16 equidistante  $L^*$  grigio passi; PS operator: *rgb/cmy0*

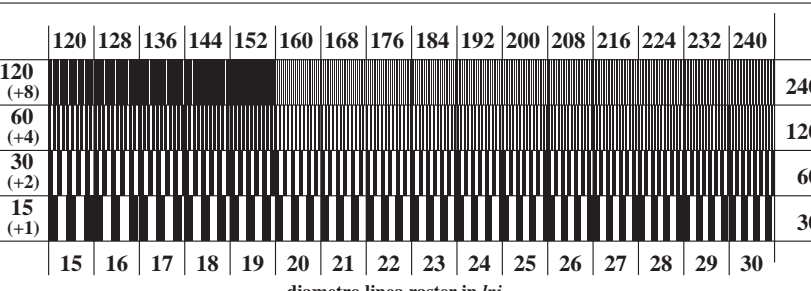
<i>lo sfondo passo</i>	0		1	<i>anello passo codice esadecimale</i>	0-1
	7		8		7-8
	E		F		E-F
	2		0		2-0
	8		6		8-6
	F		D		F-D

anelli di Landolt W-N  
codice: sfondo-anello passo

TI731-1, Fig. C4Wdd: Elemento D: anelli di Landolt W-N; PS operator: *rgb/cmy0*



TI731-3, Fig. C5Wdd: Elemento E: Linea raster a 45° (o 135°) gradi; PS operator: *rgb/cmy0*



TI731-5, Fig. C6Wdd: Elemento F: Linea raster a 90° (o 180°) gradi; PS operator: *rgb/cmy0*

$L^*/Y_{destinati}$ (absoluta)	18.0/18.0	23.2/23.2	28.3/28.3	33.5/33.5	38.6/38.6	43.8/43.8	49.0/49.0	54.1/54.1	59.3/59.3	64.4/64.4	69.6/69.6	74.8/74.8	79.9/79.9	85.1/85.1	90.2/90.2	95.4/95.4
$N_e$ codice Hex	00;F	01;E	02;D	03;C	04;B	05;A	06;9	07;8	08;7	09;6	10;5	11;4	12;3	13;2	14;1	15;0
$w^*-l^*_CIELAB, r$ (relativo)																
$w^*_\text{immettere}$	0,000	0,067	0,133	0,200	0,267	0,333	0,400	0,467	0,533	0,600	0,667	0,733	0,800	0,867	0,933	1,000
$w^*_\text{uscita}$																